

УДК 579.852.11

КОНЬЮГАЦИОННАЯ СИСТЕМА ДОСТАВКИ ВЕКТОРОВ ДЛЯ МОЛЕКУЛЯРНОГО КЛОНИРОВАНИЯ В КЛЕТКИ БАКТЕРИЙ РОДА *BACILLUS*

© 2023 г. А. С. Гуринович¹, И. А. Федюшко¹, М. А. Титок^{1, *}

¹ Белорусский государственный университет, биологический факультет,
кафедра микробиологии, Минск, 220030 Республика Беларусь

*e-mail: ma_titok@bsu.by

Поступила в редакцию 03.05.2023 г.

После доработки 29.05.2023 г.

Принята к публикации 03.07.2023 г.

Разработана система доставки векторов для молекулярного клонирования в клетки бактерий рода *Bacillus*. Особенность созданной системы заключается в использовании плазмида pBS72, обеспечивающей коньюгационный перенос полученного условно летального вектора pKS1mob в клетки исследуемых бактерий. Способность вектора pKS1mob реплицироваться в клетках *Escherichia coli* и *B. subtilis* при пониженной температуре (30°C), наличие двух полилинкеров вокруг гена канамицин-резистентности позволяет клонировать в его состав фрагменты целевых генов с использованием традиционных генно-инженерных подходов. Инактивация гена *rok* в плазмиде pBS72 позволила с высокой эффективностью трансформировать содержащий ее штамм сконструированным вектором pKS1mob. Скрещивание донорного штамма *B. subtilis* 168, содержащего коньюгативную pBS72 и мобильизируемую pKS1mob плазмиды, со штаммом-реципиентом рода *Bacillus* позволило ввести в него плазмиду pKS1mob. Показана возможность использования созданной системы для инактивации гена *codY* бактерий *Bacillus licheniformis*.

Ключевые слова: *B. subtilis*, плазмида pBS72, Rok белок, вектор pKS1mob, коньюгационный перенос, компетентность

DOI: 10.31857/S0555109923060065, **EDN:** CVNJOP

Бактерии рода *Bacillus*, благодаря способности синтезировать широкий спектр биологически активных соединений, широко используются в биотехнологии в качестве продуцентов ферментов, антибиотиков, стимуляторов роста растений и животных [1]. В связи с этим большой практический и научный интерес представляют исследования, направленные на изучение функциональной организации их геномов, а также отдельных генетических детерминант, определяющих практически важные свойства. Следует отметить, что для генетического анализа бактерий используются подходы, основанные на естественных процессах генетического обмена, в ходе которых генетический материал, попадая в клетку путем коньюгации, трансформации и трансдукции, встраивается в геном за счет гомологичной рекомбинации, либо наследуется вне хромосомы в составе мобильных генетических элементов. Эти широко распространенные в мире прокариот процессы обеспечивают появление новых комбинаций генов и быструю адаптацию микроорганизмов в изменяющихся условиях внешней среды. В лабораторных условиях для большинства бактерий тра-

диционно используется метод трансформации (электропорации), позволяющий вводить генно-инженерные конструкции для изучения функциональной организации генетического материала и создания штаммов с заданными свойствами. Однако, несмотря на наличие в геноме представителей рода *Bacillus* (например, *Bacillus subtilis*) генетической системы, обеспечивающей их природную компетентность, внесение в клетки этих бактерий чужеродной ДНК может быть затруднено, либо невозможно. Весьма показательным является пример коллекционного штамма *B. subtilis* 168, широко использующегося для генетических и генно-инженерных исследований. Природные бактерии, на основе которых этот штамм был получен, содержали плазмиду pBS32, препятствующую трансформации [2]. Аналогичное наблюдали у природных бактерий *B. subtilis*, содержащих коньюгативную плазмиду pLS20 [3]. Сложности, возникающие при введении чужеродной ДНК путем трансформации (электропорации), наблюдали и для других биотехнологически значимых бактерий этой таксономической группы (например, природных бактерий *B. subtilis*, *B. licheniformis*, *B. amy-*

lollefaciens, *B. pumilus* и др.) [4]. При этом в клетках многих из них присутствовали плазмида, роль которых в подавлении процесса трансформации до сих пор не известна. В связи с этим, для введения генно-инженерных конструкций в клетки данных микроорганизмов пристальное внимание уделяется процессу конъюгации. В настоящее время показана возможность использования конъюгативного транспозона ICEBs1 и конъюгативной плазмида pLS20 [4, 5]. Поскольку конъюгационные системы этих мобильных элементов подвержены негативной регуляции, было важно изучить возможность использования плазмида pBS72, способной передаваться путем конъюгации и мобилизовать конъюгационный перенос векторных молекул вне зависимости от условий скрещивания (в частности, перенос не зависел от времени скрещивания и обеспечивался на плотной и в жидкой среде разного химического состава) [6].

Цель настоящей работы – создание системы конъюгационной переноса векторов в клетки бактерий рода *Bacillus* с использованием плазмида pBS72.

МЕТОДИКА

В работе использовали штаммы *B. subtilis* 72 с плазмидой pBS72 [7], *B. subtilis* d16, *B. licheniformis* FD9, *B. velezensis* 7IA3 из коллекции кафедры микробиологии Белорусского государственного университете (БГУ), коллекционные штаммы *B. subtilis* 168, содержащие маркированную геном эритромицинрезистентности плазмиду pBS72 и/или плазмиду pCB16 [8], *E. coli* XL1-Blue, *E. coli* TG1 и фитопатогенные грибы *Fusarium cultorum*, *Botrytis cinerea*, *Alternaria radicina* из коллекции кафедры ботаники БГУ, а также плазмиды pMTL21C и pKS1 [9]. Бактерии выращивали в полноценной среде LB [10] и минимальной среде [11] при 37°C с аэрацией (240 об./мин). Для роста фитопатогенных грибов использовали картофельно-морковный агар: картофель – 20 г/л, морковь – 20 г/л, агар – 15 г/л.

В работе использовали коммерческие препараты ампициллина (100 мкг/мл), хлорамфеникола (10 мкг/мл), эритромицина (10 мкг/мл), стрептомицина (50 мкг/мл), тетрациклина (25 мкг/мл), и канамицина (50 мкг/мл).

Тотальную ДНК выделяли сарказиловым методом [12]. Трансформацию бактерий *E. coli* и *B. subtilis* осуществляли согласно методам, приведенным в работах [10, 13].

Для амплификации использовали Phusion HF ДНК-полимеразу производства “ThermoScientific” (США) и праймеры производства ОДО “Праймтех” (Беларусь). Реакционная смесь для ПЦР (50 мкл) содержала около 100 нг ДНК-матрицы, 0.2 ммоль/л каждого ДНТФ, 0.5 мкмоль/л каждого праймера,

0.02 ед. ДНК-полимеразы и соответствующий буфер.

Для амплификации фрагмента гена *rok* плазмида pBS72 размером 421 п.н использовали праймеры Frok-nok (5'-TCT CTC TCT ACC TGT TTT TGC AG-3') и Rrok-nok (5'-TGT GTCAA TGCCAA ACG AC-3'), для амплификации *mobV*-сайта плазмида pBC16 размером 1863 п.н. – праймеры Fmob (5'-GC GCG ATT GCT GAA TAA AAG ATA C-3') и Rmob (5'-CAC TTC AAC GCA CCT TTC AG-3'), для амплификации гена Km^R плазмида pKS1 размером 1009 п.н. – праймеры FKmR (5'-CGGT CCG GAG TCG ATA CTA TGT TAT ACG CCA AC-3') и RKmR (5'-CGG TCC GGA CGG CAA TTG AGC TTT TTA GAC ATC TAA ATC TAG GTA C-3'), содержащие на 5'-концах сайт рестрикции для фермента KpnI.

Амплификацию фрагментов гена *codY* бактерий *B. licheniformis* FD9 размером 239 п.н. и 156 п.н. проводили соответственно с использованием праймеров F1codY (5'-CCG CGG CGG AAA CGT CAT CTA ACC TTG-3') и R1codY (5'-GAT CTC TTC CGC TTT CTC TCT GAT CCG GAG AAT TTC CAT TCC TAC GAC AGT G-3'), F2codY (5'-CGG TCC GGA TCA GAG AGA AAG CGG AAG AGA TC-3') и R2codY (5'-CAA TTT TAC TAG CGA CAA GCA GG-3'). Внутренние праймеры R1codY и F2codY содержали на 5'-концах сайт рестрикции для фермента KpnI. Полученные ПЦР-продукты использовали в качестве матрицы для амплификации гена *codY* размером 381 п.н. с внешними праймерами F1codY и R2codY, содержащими на 5'-концах сайты рестрикции для ферментов SacII и Eco147I соответственно.

Рестрикцию и лигирование осуществляли в условиях, рекомендуемых фирмой-изготовителем (“Thermo Scientific”, США). Все продукты ПЦР встраивали в вектор pMTL21C в уникальный *Sma*I-сайт. Последовательность *mobV*-сайта вырезали из плазмида pMTL21C рестриктазами *Kpn*I и *Hind*III с последующим встраиванием в плазмиду pKS1, предварительно обработанную этими же рестриктазами. В сайт *Kpn*I гена *codY* встраивали маркер канамицинрезистентности, вырезанный из плазмида pMTL21C с помощью этой же рестриктазы. Встраивание гена *codY*, маркированного канамицинрезистентностью, осуществляли между сайтами *Sac*II и *Eco*147I вектора pKS1mob.

Интеграцию вектора pMTL21C, содержащего фрагмент гена *rok*, в состав плазмиды pBS72 устанавливали с помощью полимеразной цепной реакции с использованием праймера M13F (5'-GTA AAA CGA CGG CCA GTG-3'), отжигающегося на последовательности вектора pMTL21C, и праймера Rrok-out (5'-GTT GGG TTA TCG ATA GCG AAG-3'), комплементарно связывающегося вне области встраивания гибридной плазмиды (был

получен фрагмент искомого размера 567 п.н.). Интеграцию гибридного вектора pKS1mob, содержащего фрагмент гена *codY*, в хромосому бактерий *B. licheniformis* FD9 устанавливали с помощью полимеразной цепной реакции с использованием праймера FKmR (5'-CGG TCC GGA GTC GAT ACT ATG TTA TAC GCC AAC-3'), отжигающегося на последовательности вектора pKS1mob, и праймера FcodY-out (5'-GAA CAT TTT CGT CGT CAG CC-3'), комплементарно связывающегося вне области встраивания гибридной плазиды. В результате был получен фрагмент искомого размера 1385 п.н.

Для определения частоты переноса коньюгативной плазиды pBS72 в изогенной системе скрещивания культуру донора и реципиента в логарифмической фазе роста смешивали 1 : 1 и скрещивали в жидкой среде LB с аэрацией в течение 1, 2, 3, 4 или 24 ч с последующим высевом на селективные среды. Для определения частоты переноса мобилизованного вектора в гетерогенных системах культуру донора и реципиента в логарифмической фазе роста разводили в 10 раз в свежей полноценной среде (800 мкл) с последующим культивированием с аэрацией в течении 3 или 24 ч при температуре 30°C. После 3 и 24 ч скрещивания клетки высевали на минимальную среду с канамицином и культивировали при 37°C. Полученные трансконьюгантны проверяли на наличие маркеров антибиотикорезистентности методом реплик. Присутствие в клетках трансконьюгантов плазид дополнительного определяли с использованием ПЦР-анализа.

Определение антрафунгальной активности осуществляли методом рассева 100 мкл взвеси конидий в концентрации (100 кон./мл) на поверхность подсущенной агаризованной питательной среды. После этого вырезали лунки диаметром 0.5 см, в которые вносили по 100 мкл жидкой культуры бактерий-антагонистов и культивировали при 28°C в течение 5 сут. Через 5 сут отмечали зону лизиса. В качестве контроля использовали питательный бульон, в котором выращивали штаммы-антагонисты. На основании трех независимых экспериментов с шестью повторами проводили статистическую обработку данных с использованием программы Microsoft Excel. Достоверность различий была подтверждена однофакторным дисперсионным анализом.

Для анализа аминокислотных последовательностей белков Rok, кодируемых плазидами pBS72 (APB62404) и pLS20 (BAJ76946.1), а также хромосомным геном бактерий *B. subtilis* 168 (NP_389307) использовали программу BLASTN2.10.0 (сайт: <https://blast.ncbi.nlm.nih.gov>). Аминокислотные последовательности гомологичных белков выравнивали с помощью программы "ClustalOmega"

(сайт <https://www.ebi.ac.uk/Tools/common/tools/help/index.html?tool=clustalo>).

РЕЗУЛЬТАТЫ И ИХ ОБСУЖДЕНИЕ

Для создания системы коньюгационного переноса векторов с использованием плазиды pBS72 необходимо было решить следующие задачи. Во-первых, определить возможность введения векторов в клетки коллекционных бактерий *B. subtilis* 168, содержащих маркированную плазиду pBS72, и при отсутствии трансформации установить наличие в составе плазидного репликона генов, ингибирующих данный процесс. Во-вторых, сконструировать вектор пригодный для молекулярного клонирования и способный передаваться путем коньюгации за счет плазиды pBS72. Для этих целей предполагали использовать известный вектор pKS1, способный копироваться в клетках *E. coli*, отличительной особенностью которого являлась зависимость от температуры репликация. Он стабильно наследовался в бактериях разных систематических групп (*E. coli* и рода *Bacillus*) при температуре 30°C и утрачивался клетками при 37°C [9]. Это позволяло использовать данный репликон для введения чужеродного генетического материала при пониженной температуре и направленного мутагенеза при повышенной температуре культивирования. Для этого необходимо было клонировать в его состав *mobV*-сайт, обеспечивающий его коньюгационный перенос плазидой pBS72. И, наконец, установить возможность использования созданной системы для генетического анализа бактерий рода *Bacillus*. Для этого предполагали встроить в состав созданного мобилизованного вектора фрагменты бактериального гена *codY* природных бактерий *B. licheniformis* FD9. Поскольку известно, что данная детерминанта кодировала негативный регулятор синтеза antimикробных соединений (показана негативная регуляция синтеза лихенизина, определяющего антрафунгальные свойства данных бактерий) [15], предполагали, что внесение направленной мутации в данный ген приведет к изменению антрафунгальной активности исследуемых бактерий.

На первом этапе работы было установлено, что бактерии *B. subtilis* 168, содержащие плазиду pBS72 не трансформируются вектором pKS1. Отсутствие трансформантов свидетельствовало о присутствии в геноме плазиды pBS72 детерминант, подавляющих поглощение чужеродной ДНК. Действительно, в результате анализа полной нуклеотидной последовательности плазиды pBS72 была выявлена открытая рамка считывания 135, способная кодировать белок Rok, ингибирующий трансформацию у бактерий *B. subtilis*. Представлялось важным охарактеризовать данный полипептид и определить его роль в трансформации, что имело принципиальное значение при введении

Rok (pLS20)	-----MLTERQALQDRLEKIDKDEITLILKEYQKQRNQIFERLRE	39
Rok (pBS72)	MCQMPNDLIYGMNLKGEVLHLFSEREALRLRFEQLNVAESTVRHEFQKEREKIFKRLGE	60
Rok (<i>B.s.</i> 168)	-----MFNREALRLRLEQLNEAEVKVIREYQIERDKIYAKLRE	39
	: * : : * : : : * : * : : : * : *	
Rok (pLS20)	IDREEYK-----NLPDLKQLASLEIHQSK-----	64
Rok (pBS72)	LDLIEKTNKSKE-----SLLDLARRAANDLKNSKK-----	93
Rok (<i>B.s.</i> 168)	LDRNGSPSEIKKDFRSEKKPDSLVPVLAELAAQEIRSYQPQSQQSVQPQLQSISSLPGI	99
	: * * * * * - * * * * * : * : * : * * * - * * * -	
Rok (pLS20)	↓-----PERDIRKHAVNVILKVNPDGLSADELRSKIEKETNMQILNMTTNFM	109
Rok (pBS72)	RNTSEKNNISRETSTSAAIFRETAIKILKNKNNPKISSSDLQKVERETGMQITNMTTFM	153
Rok (<i>B.s.</i> 168)	PDGTTRRRRGTARPGSKAAKLREAAIKTLKRHNAAIKSSELQKEIEKESGLEIPNMTTFM	159
	: * * : * : * : * : * : * : * : * : * : * : * : * -	
Rok (pLS20)	↓ RSIMEKNPSVKKPRRGYYRFEEM-----	132
Rok (pBS72)	NNLMKKYPEVKKPKNRGLYLIIDKR-----	176
Rok (<i>B.s.</i> 168)	QSLIKMYPVEVKKPYRGQYILEGEIESAESANE	191
	** : : * * * - * * * : * * -	

Рис. 1 Сравнительный анализ аминокислотных последовательностей белков Rok, кодируемых плазмидами pBS72 и pLS20 и хромосомным геном бактерий *B. subtilis* 168: * – функционально значимые несинонимические замены; : – функционально незначимые замены. Функционально значимые аминокислоты, определяющие взаимодействие с молекулой ДНК, обозначены стрелками; N-концевые, спейсерные и C-концевые аминокислотные последовательности обозначены сплошной, пунктирной и жирной пунктирной линиями соответственно (согласно данным, приведенным в работе [17]).

векторов в клетки, содержащие плазмиду pBS72. Молекулярно-генетический анализ исследуемого белка Rok в сравнении с известными, кодируемыми хромосомным геном *B. subtilis* и плазмидой pLS20, позволил установить, что он подобно гомологичным полипептидам содержал вариабельную N-концевую (аминокислоты 1–45) и консервативную C-концевую (аминокислоты 96–191) аминокислотную последовательности (рис. 1). Исследуемый белок проявлял больше сходства с N- и C-концевыми последовательностями хромосомного белка бактерий *B. subtilis* 168 (идентичность составила 63 и 59% соответственно), чем с таковым, кодируемым плазмидой pLS20 (идентичность составила 42 и 59% соответственно). Присутствие в C-концевом участке ключевых аминокислот, обеспечивающих связывание с молекулами ДНК, свидетельствовало в пользу его возможной функциональной активности. Известно, что основная роль белка Rok заключалась в репрессии транскрипции гена *cotK*, являющегося позитивным регулятором экспрессии большого числа генов, продукты которых необходимы для установления состояния компетентности и поглощения чужеродной ДНК бактериальной клеткой в процессе трансформации [16]. Следует отметить, что функция подавления трансформации установлена для белка Rok, кодируемого плазмидой pLS20. Показано, что мутация в гене *rok* увеличивала в 100 раз способность содержащих плазмиду pLS20 бактерий трансформироваться чужеродной ДНК

[3]. Для белка, кодируемого хромосомным геном *rok* *B. subtilis*, изучен более широкий спектр функциональной активности. Помимо подавления компетентности установлена его способность негативно регулировать экспрессию большого числа генов (около 250), в том числе в составе мобильных генетических элементов (в частности, ингибировать конъюгационный перенос транспозона ICE *Bs1*) [17].

Сходство белка, кодируемого открытой рамкой считывания 135 с известными полипептидами, подавляющими трансформацию, обосновано внесение мутации в ген *rok* плазмиды pBS72. Инактивацию данной детерминанты осуществляли с использованием суициального вектора pMTL21, содержащего фрагмент гена *rok*. В результате встраивания данного вектора в состав исследуемой плазмиды был отобран мутантный вариант (локализация инсерции определена с использованием ПЦР-анализа). При этом, помимо нарушения в гене *rok*, мутантная плазмода содержала селективный маркер хлорамфениколрезистентности. Мутант получен в результате встраивания в ген *rok* плазмиды pMTL21. Использование бактерий *B. subtilis* 168, содержащих мутантную плазмиду pBS72 с нарушенным геном *rok*, позволило трансформировать их вектором pKS1. При этом частота трансформации вектора не отличалась от таковой при его внесении в бесплазмидные клетки *B. subtilis* 168, и составила 4.6×10^3 и 5.9×10^3 соответственно (приведены значения ча-

стот трансформации рассчитанные на 1 мкг ДНК плазмида pKS1). Кроме того, было установлено, что мутация гена *rok* не влияла на частоту конъюгационного переноса плазмида pBS72. Частота переноса исходной и мутантной плазмид в изогенной системе бактерий *B. subtilis* составила 10^{-2} – 10^{-3} при скрещиваниях в жидкой среде в течение 1, 2, 3, 4 и 24 ч (приведены частоты переноса рассчитанные относительно количества клеток донора).

Следующий этап работы был посвящен созданию мобилизованного вектора pKS1. Для этого в его состав с использованием генно-инженерных манипуляций (ПЦР, рестрикция) был встроен *mobV*-сайт размером 1863 п.н. плазмида pBC16, обеспечивающий ее конъюгационный перенос плазмидой pBS72 [6]. На основании ПЦР- и рестрикционного анализа было установлено, что полученная конструкция содержала все функционально значимые участки для ее дальнейшего использования. В частности, термоочувствительный по репликации *rep*-ген, *mobV*-сайт, ген эритромицинрезистентности, а также два полилинкера, расположенных перед и за геном канамицинрезистентности: *BseYI*, *PspFI*, *XmaI*, *SmaI*, *SpeI*, *NotI*, *SacII*, *BstXI*, *BstZ17I* и *HindIII*, *SbfI*, *StuI*, *XhoI*, *BglII*, *NcoI*, *MluI*, *AatII*, *ZraI*, *SalI* соответственно, пригодные для встраивания фрагментов чужеродной ДНК (рис. 2). Поскольку *mobV*-сайт изолировали с использованием ПЦР, не исключали возможности наличия в нем нуклеотидных замен и, как следствие, потерю функциональной активности. Для доказательства способности встроенного *mob*-сайта обеспечивать конъюгационный перенос плазмида pKS1 (обозначена как pKSmob) ее вносили в бактерии *B. subtilis* 168, содержащие плазмиду pBS72 с нарушенным геном *rok*, и проверяли частоту ее переноса в скрещиваниях с природными бактериями рода *Bacillus* (табл. 1).

В результате при скрещивании в течение 3 и 24 ч был установлен конъюгационный перенос вектора pKS1mob в клетки всех исследованных бактерий. При этом частота его переноса в клетки бактерий *B. subtilis* d16 и *B. licheniformis* FD9 составила соответственно 10^{-4} и 10^{-6} вне зависимости от времени скрещивания. Тогда как в клетки *B. velezensis* 713A перенос вектора снижался со временем и составил 1.80×10^{-6} при скрещивании в течение 3 и 2.93×10^{-8} при скрещивании в течение 24 ч (табл. 1).

Установлено, что в клетках отобранных трансконъюгатов отсутствовала мобилизующая плазмида pBS72, а векторная молекула pKS1mob не наследовалась при культивировании бактерий в неселективных условиях при 37°C. Полученные результаты обосновали возможность использования вектора pKS1mob для клонирования фрагментов гена *codY* природных бактерий *B. licheni-*

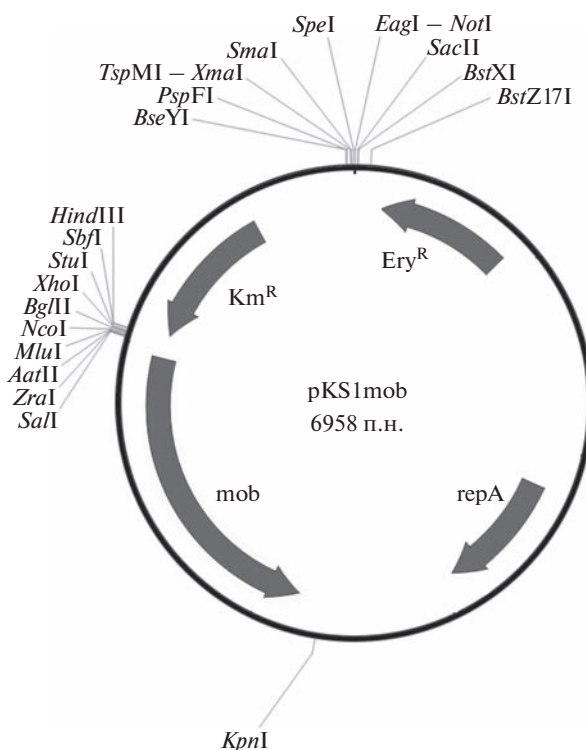


Рис. 2. Схема организации вектора pKS1mob: *rep* – ген, кодирующий термоочувствительный белок иницииации репликации плазмида pKS1; *mob* – сайт, обеспечивающий конъюгационный перенос вектора путем мобилизации; *Ery*^R – ген, определяющий устойчивость к эритромицину; *Km*^R – ген, определяющий устойчивость к канамицину; *BseYI*, *PspFI*, *XmaI*, *SmaI*, *SpeI*, *NotI*, *SacII*, *BstXI*, *BstZ17I* и *HindIII*, *SbfI*, *StuI*, *XhoI*, *BglII*, *NcoI*, *MluI*, *AatII*, *ZraI*, *SalI* – уникальные сайты рестрикции.

formis FD9 с целью последующей инактивации данной детерминанты.

Ген *codY* был изолирован с использованием техники перекрывающейся ПЦР, с последующим встраиванием в его состав гена канамицинрезистентности. Фрагмент гена *codY*, маркированный геном канамицинрезистентности был встроен в вектор pKS1mob (рис. 3). Следует отметить, что все манипуляции осуществляли с использованием бактерий *E. coli*, что являлось наиболее оптимальным при создании генно-инженерных конструкций.

Полученной гибридной плазмидой трансформировали коллекционные бактерии *B. subtilis* 168, содержащие плазмиду pBS72 с нарушенным геном *rok*. Полученный донорный штамм скрещивали с бактериями *B. licheniformis* FD9. В результате конъюгационных скрещиваний трансконъюгантами бактерий *B. licheniformis* были отобраны с частотой 7.9×10^{-5} (в пересчете на количество клеток донора) на минимальной среде с добавлением канами-

Таблица 1. Частота конъюгационного переноса вектора pKS1mob в клетки бактерий рода *Bacillus*

Рецептиент	Время скрещивания, ч	Частота конъюгационного переноса вектора pKS1mob
<i>B. subtilis</i> d16	3	1.51×10^{-4}
	24	1.63×10^{-4}
<i>B. licheniformis</i> FD9	3	1.11×10^{-6}
	24	2.71×10^{-6}
<i>B. velezensis</i> 7I3A	3	1.80×10^{-6}
	24	2.93×10^{-8}

Примечание: приведены частоты переноса относительно количества клеток донора.

цина в концентрации 50 мкг/мл. Было установлено, что отобранные трансконъюганты при выращивании в неселективных условиях стабильно наследовали маркер канамицинрезистентности и не содержали устойчивости к эритромицину (ген локализовался в плазмиде pKS1mob). Это свидетельствовало в пользу того, что в результате гомологичной рекомбинации произошла замены гена *codY* дикого типа на его фрагмент, содержащий ген канамицинрезистентности. Отсутствие в хромосоме плазмидного репликона дополнительное подтверждено с использованием ПЦР-анализа.

Сравнительный анализ антифунгальной активности исходного и мутантного штаммов *B. licheniformis* FD9 показал, что нарушение в гене *codY* не влияло на его способность подавлять развитие гриба *Botrytis cinerea*, полностью название рода (табл. 2). В то же время относительно фитопатогенных грибов *Fusarium culmorum* полностью и *Alternaria radicina* полностью уровни антимикробной активности бактерий дикого типа и мутанта отличались и зависели от времени их культивирования. При этом наиболее высокие значения активностей, определяемые по размеру зоны задержки роста гриба, наблюдались для мутантного штамма (различия статистически достоверны, $p < 0.001$).

Таким образом, в результате выполнения исследования создана конъюгационная система доставки векторов для молекулярного клонирования в клетки бактерий рода *Bacillus*. Для этого отобран мутантный вариант плазмиды pBS72 с нарушенным геном *rok*, не препятствующий введению векторов методом трансформации в содержащие его клетки и сохраняющий на уровне дикого типа конъюгационные свойства. Сконструирован вектор, содержащий mobV-сайт (pKS1mob), обес-

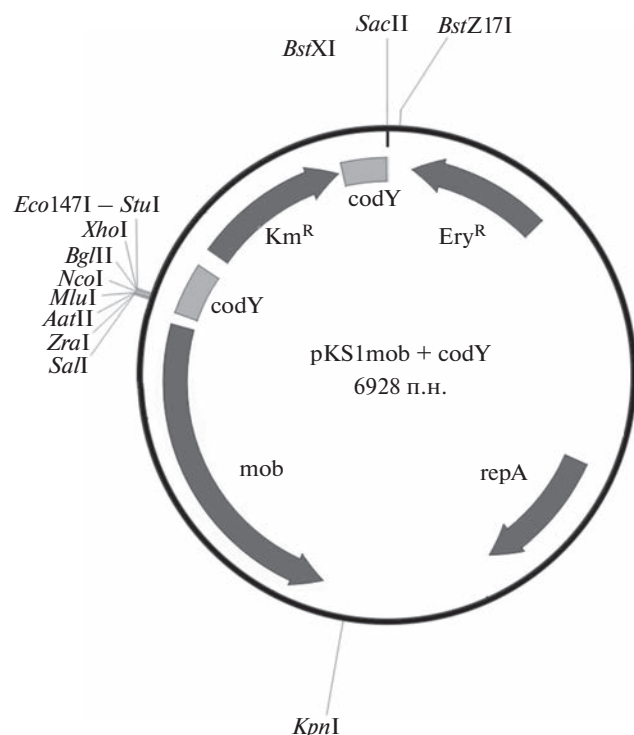


Рис. 3. Схема организации вектора pKS1mob с клонированными фрагментами гена *codY*: *rep* – ген, кодирующий термочувствительный белок инициации репликации плазмида pKS1; *mob* – сайт, обеспечивающий конъюгационный перенос вектора путем мобилизации; *Ery^R* – ген, определяющий устойчивость к эритромицину; *Km^R* – ген, определяющий устойчивость к канамицину; *codY* – фрагменты гена *codY* бактерий *B. licheniformis* FD9; *SacII*, *BstZ17I*, *StuI*, *XbaI*, *BglII*, *NcoI*, *MluI*, *ZraI*, *AatII* *SalI* – уникальные сайты рестрикций.

печивающий его конъюгационный перенос плазмидой pBS72 в клетки природный бактерий рода *Bacillus*. Способность вектора pKS1mob копироваться в клетках *E. coli* и наличие двух полилинкеров вокруг гена канамицинрезистентности позволяет клонировать в него фрагменты анализируемых генов с использованием традиционных генно-инженерных подходов. Присутствие в векторе pKS1mob термоочувствительной системы репликации позволяет направленно инактивировать исследуемые гены для последующего функционального анализа. Преимущество созданной системы состоит в том, что для введения векторов существенно сокращаются материальные и временные затраты. Искомые мутантные варианты можно отобрать на минимальной агаризованной среде с канамицином при 37°C (отсутствие триптофана является контрсекретирующим маркером) через 3 ч после скрещивания в жидкой полноценной среде при 30°C донорных и реципиентных бактерий рода *Bacillus*. При этом в качестве доно-

Таблица 2. Антимикробная активность исходного и мутантного штаммов *B. licheniformis* FD9

Патоген	Зона задержки роста гриба бактериями, мм			
	дикий тип <i>B. licheniformis</i> FD9		мутант <i>B. licheniformis</i> FD9*	
	время культивирования бактерий, ч			
	24	48	24	48
<i>F. culmorum</i>	21.2 ± 3.0	14.4 ± 4.0	12.8 ± 4.0	32.0 ± 2.0
<i>B. cinerea</i>	25.6 ± 4.0	29.5 ± 4.0	27.2 ± 4.0	29.6 ± 4.0
<i>A. radicina</i>	17.8 ± 2.0	27.2 ± 3.0	38.6 ± 3.0	15.1 ± 3.0

*Бактерии *B. licheniformis* FD9 с инактивированным геном *codY*.

ров необходимо использовать бактерии *B. subtilis* 168, содержащие конъюгативную плазмиду pBS72 с нарушенным геном *rok* и мобилизуемый вектор с фрагментами анализируемого гена.

Работа выполнялась при финансовой поддержке Государственной программы научных исследований “Биотехнологии-2” (задание 3.6.2) и гранта Белорусского республиканского фонда фундаментальных исследований (№ Б21-142).

СОБЛЮДЕНИЕ ЭТИЧЕСКИХ СТАНДАРТОВ

Статья не содержит материалов каких-либо исследований с использованием животных в качестве объектов.

КОНФЛИКТ ИНТЕРЕСОВ

Авторы заявляют, что у них нет конфликта интересов.

СПИСОК ЛИТЕРАТУРЫ

1. Harwood C.R., Mouillon J.M., Pohl S., Arnau J. // FEMS Microbiol. Rev. 2018. V. 42. P. 721–738. <https://doi.org/10.1093/femsre/fuy028>
2. Burton A.T., Kearns D.B. // J. Bacteriol. 2020. V. 202. № 18. P. e00290-20. <https://doi.org/10.1128/JB.00290-20>
3. Singh P.K., Ramachandran G., Duran-Alcalde L., Alonso C., Wu L.J., Meijer W.J. // Environ. Microbiol. 2012. V. 14. № 10. P. 2812–2825. <https://doi.org/10.1111/j.1462-2920.2012.02819x>
4. Jeong D.E., Kim M.S., Kim H.R., Choi S.K. // Front. Microbiol. 2022. V. 13. P. 802040. <https://doi.org/10.3389/fmicb.2022.802040>
5. Brophy J.A.N., Triassi A.J., Adams B.L. // Nat. Microbiol. 2018. V. 3. P. 1043–1053. <https://doi.org/10.1038/s41564-018-0216-5>
6. Gurinovich A.S., Titok M.A. // Microbiology. 2022. V. 91. № 4. P. 395–408. <https://doi.org/10.1134/S002626172230018X>
7. Titok M.A., Chapuis J., Selezneva Y.V., Lagodich A.V., Prokulevich V.A., Ehrlich S.D., Jannière L. // Plasmid. 2003. V. 49. № 1. P. 53–62. [https://doi.org/10.1016/s0147-619x\(02\)00109-9](https://doi.org/10.1016/s0147-619x(02)00109-9)
8. Gurinovich A.S., Titok M.A. // Microbiology. 2020. V. 89. № 6. P. 660–669. <https://doi.org/10.1134/S0026261720060065>
9. Shatalin K.Y., Neyfakh A.A. // FEMS Microbiology Letters. 2005. V. 245. № 2. P. 315–319. <https://doi.org/10.1016/j.femsle.2005.03.029>
10. Harwood C.R., Cutting S.M. Molecular Biological Methods for *Bacillus*. / Ed. C.R. Harwood and S.M. Cutting Chichester, New York: Wiley, 1990. 581 p.
11. Anagnostopoulos C., Spizizen J. // J. Bacteriol. 1961. V. 81. № 5. P. 741–746. <https://doi.org/10.1128/jb.81.5.741-746.1961>
12. te Riele H., Michel B., Ehrlich S.D. // Proc. Natl. Acad. Sci. USA. 1986. V. 83. P. 2541–2545. <https://doi.org/10.1073/pnas.83.8.2541>
13. Sambrook J., Fritsch E., Maniatis T. Molecular Cloning: a Laboratory Manual, 2nd Ed. N.Y.: Cold Spring Harbor Laboratory Press, 1989. 468 p.
14. Poluektova E.U., Fedorina E.A., Lotareva O.V., Prozorov A.A. // Plasmid. 2004. V. 52. P. 212–217. <https://doi.org/10.1016/j.plasmid.2004.07.001>
15. Fujita Y., Satomura T., Tojo S., Hirooka K. // J. Bacteriol. 2014. V. 196. P. 3793–3806. <https://doi.org/10.1128/JB.02055-14>
16. Hoa T.T., Tortosa P., Albano M., Dubnau D. // Mol. Microbiol. 2002. V. 43. № 1. P. 15–26. <https://doi.org/10.1046/j.1365-2958.2002.02727.x>
17. Smits W.K., Grossman A.D. // PLoS Genet. 2010. V. 11. № 6. P. e1001207. <https://doi.org/10.1371/journal.pgen.1001207>

Conjugation Vector Delivery System for Molecular Cloning into Cells of Bacteria of The Genus *Bacillus*

A. S. Gurinovich^a, I. A. Fedyushko^a, and M. A. Titok^{a, *}

^a Department of Microbiology, Biological Faculty, Belarusian State University, Minsk, 220030 Belarus

*e-mail: ma_titok@bsu.by

A delivery system for vectors for molecular cloning into bacterial cells of the genus *Bacillus* has been developed. A specific feature of the developed system is the use of the pBS72 plasmid, which provides the conjugative transfer of the conditionally lethal vector pKS1mob obtained into the cells of the studied bacteria. The ability of vector pKS1mob to replicate in *Escherichia coli* and *B. subtilis* cells at a low temperature (30°C), the presence of two polylinkers around the kanamycin resistance gene makes it possible to clone target gene fragments into its composition using traditional genetic engineering approaches. Inactivation of the *rok* gene in the pBS72 plasmid made it possible to transform the strain containing it with the constructed vector pKS1-mob with high efficiency. Crossing the donor strain *B. subtilis* 168, containing conjugative pBS72 and pKS1-mob mobilizable plasmids, with a recipient strain of the genus *Bacillus* made it possible to introduce the pKS1mob plasmid into it. The possibility of using the created system for inactivation of gene *codY* of bacteria *Bacillus licheniformis* was shown.

Keywords: *B. subtilis*, pBS72 plasmid, Rok protein, vector pKS1mob, conjugation transfer, competence